# 铁离子和亚硝酸对偏二甲基肼 还原六价镎的影响

# 尹东光 张先业 胡景炘

(中国原子能科学研究院放射化学研究所, 北京 102413)

用分光光度法研究了  $Fe^{3+}$  和  $HNO_2$  对硝酸体系中偏二甲基肼还原 Np (VI) 的影响。结果表明,  $Fe^{3+}$  与偏二甲基肼反应生成  $Fe^{2+}$  ;  $Fe^{3+}$  对偏二甲基肼还原 Np (VI) Np (V) 的反应有催化作用;在 实验条件下,当  $c_{Fe}^{3+}=0.1$  mmol L 时,反应 2h 后,能检测到有 Np (VI) 生成; $HNO_2$  能与 Np (VI) 及偏二甲基肼反应,当  $HNO_2$  存在于偏二甲基肼与 Np (VI) 的反应体系中时,Np (VI) Np (VI) 的还原速率显著加快。

关键词 Fe3+ HNO2 偏二甲基肼 镎 反应速率

在核燃料后处理过程中由于设备腐蚀有  $Fe^{3+}$  存在,  $HNO_3$  辐解和元件溶解又会产生  $HNO_2$ 。然而, 目前关于  $Fe^{3+}$  和  $HNO_2$  对偏二甲基肼还原 Np (VI) 的影响尚未见报道。我们在研究了偏二甲基肼还原 Np (VI) 的动力学 基础上,为了进一步研究偏二甲基肼在 Purex 流程中的应用,本文采用分光光度法研究  $Fe^{3+}$  和  $HNO_2$  对硝酸体系中偏二甲基肼还原 Np (VI) 的影响。

## 1 实验部分

#### 1.1 主要试剂和仪器

 $^{237}$ Np 硝酸溶液,NpO2 由兰州核燃料厂提供。NpO2 经硝酸溶解 TTA 萃取 离子交换纯化处理得  $1.0\,\mathrm{mol}$  L HNO3 的 $^{237}$ Np 溶液,以二甲酚橙作指示剂,EDTA 络合滴定法测定其浓度。偏二甲基肼((CH3)2NNH2),航天工业总公司三院提供。硝酸、硝酸钠、亚硝酸钠、硝酸铁等均为分析纯。

LAMBDA 19 U V № IS N IR 分光光度计, 美国 PER K N ELM ER 公司出品。751 型分光光度计, 上海分析仪器厂出品。

#### 1.2 实验方法

用电解氧化法将Np 氧化成Np (VI)。 电解 1 h,Np (VI) 的含量在 95% 以上。 离子强度用 N a $NO_3$  调节。 将含有一定组分的Np (VI) (浓度为 0.1 mm ol/L 量级) 硝酸溶液放入分光光度 计的恒温样品池中(光程为 1 cm), 并加入一定量的偏二甲基肼溶液, 在反应产物Np (V) 的最

大吸收波长 981 nm 处, 连续测量反应过程中Np(V)的吸光度, 隔一定时间测反应体系的吸收光谱。 根据反应过程中Np(V)的吸光度随时间的变化求出反应速率, 根据不同时间反应体系的光谱图分析反应过程中不同价态Np 的含量变化。

#### 2 结果和讨论

#### 2.1 Fe3+ 对偏二甲基肼与 Np(VI) 反应的影响

将 $(CH_3)_3NNH_2$  加入含有  $Fe^{3+}$  的  $HNO_3$  溶液中,一定时间后加入显色剂 1, 10-菲咯啉,分 光光度计测量发现在 510 nm 处有  $Fe^{2+}$  的特征吸收峰,说明  $Fe^{3+}$  能与偏二甲基肼反应生成  $Fe^{2+}$ 。文献[2]认为, $Fe^{2+}$  能将Np(VI)还原为Np(V),也能将Np(V)还原为Np(IV)。图 1 (a.

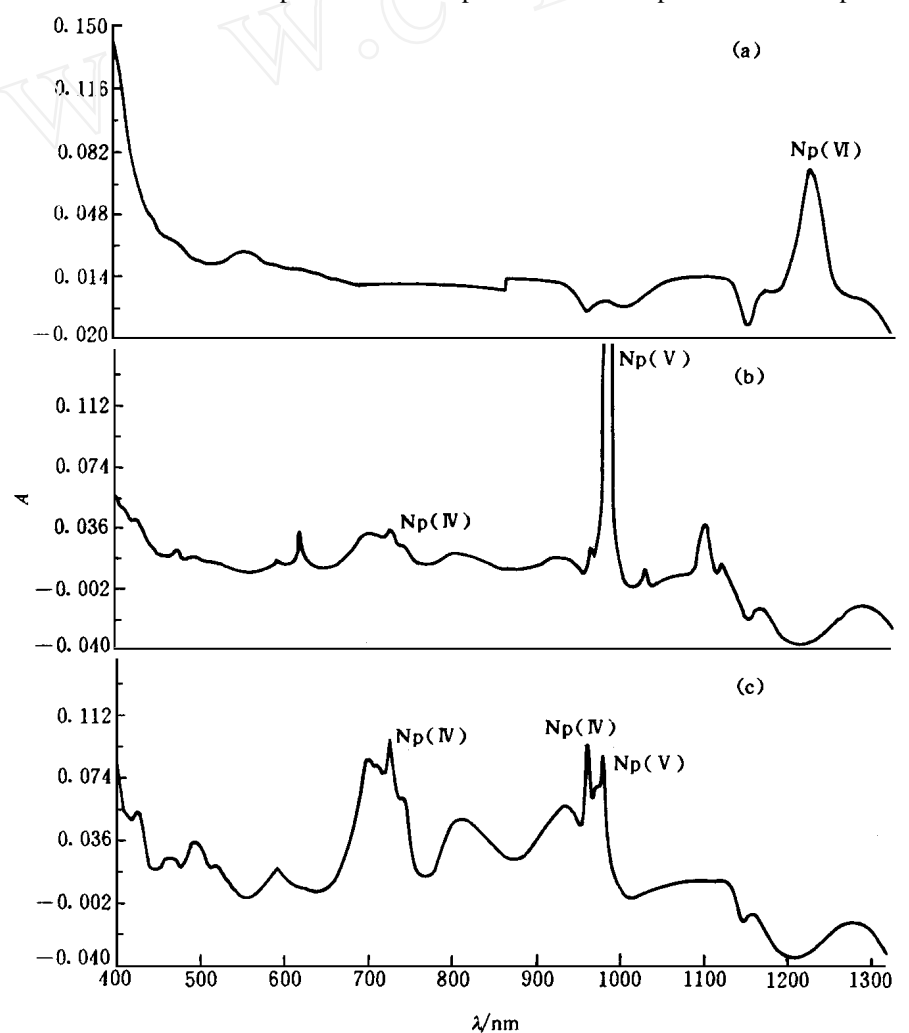


图 1 Np 在 Fe<sup>3+</sup> - (CH<sub>3</sub>) 2NN H<sub>2</sub>-HNO<sub>3</sub> 体系中, 反应不同时间后的光谱图 实验条件: t=23 ,  $c_{\rm Fe}^{3+}=30~{\rm mmol} / {\rm L}$ ,  $c_{\rm HNO_3}=1.0~{\rm mol} / {\rm L}$ ,

 $c_{(CH_3)_2NNH_2} = 40 \text{ mmol/L},$ 

t/m in: (a) — 0, (b) — 14, (c) — 100

b, c) 为 t= 23 0 , Np (VI), 3.0 × 10<sup>-2</sup> mol/L Fe<sup>3+</sup>, 1.0 mol/L HNO<sub>3</sub> 的混和体系中加入 4.0×10<sup>-2</sup>mol/L (CH<sub>3</sub>)<sub>2</sub>NNH<sub>2</sub>, 反应时间分别为 0, 14 和 100 m in 时的吸收光谱图。图 1(a) 中, 1223 nm 处的吸收峰为Np(VI)离子的特征吸收峰。由图 1(b)看出,反应进行 14 m in, Np(VI)离子的吸收峰已消失,说明Np(VI)离子已被完全还原,981 nm 处出现了Np(V)离子 的特征吸收峰, 同时在 724 nm 处生成了Np(IV)离子的特征吸收峰。由图 1(c)看出, 当反应进 行100 m in 时, Np(IV)在 724 nm 处的峰值明显增大, 而 981 nm 处Np(V)的吸收峰明显降低 后, f(N) (IV) 生成, 而当  $c_{Fe}^{3+}$  < 0.1 mm o l/L 时, 2 h 内检测不出 Np (IV) 的生成。

实验测得不同  $Fe^{3+}$  浓度下偏二甲基肼与Np(VI) 反应的表观速率常数值, 结果列入表 1。 从表 1 看出,  $Fe^{3+}$  能加快(CH<sub>3</sub>)<sub>2</sub>NNH<sub>2</sub> 还原Np(VI) Np(V)的反应, 说明  $Fe^{3+}$  对该反应有催 化作用,其催化机理可认为:

$$Fe^{3+} + (CH_3)_2NNH_2$$
—  $Fe^{2+} + 氧化产物$  (1)

$$Fe^{2+} + NpO_2^{2+} - Fe^{3+} + NpO_2^{+}$$
 (2)

当 Fe<sup>3+</sup> 浓度超过一定值时, 能发生如下反应, 并检测到 Np(IV):

$$NpO_{2}^{+} + Fe^{2+} + 4H^{+} - Fe^{3+} + Np^{4+} + 2H_{2}O$$
 (3)

(1)、(2)的反应比(3)要快得多。

 $k_{1}/m \text{ in}^{-1}$  $k_{1}/m \text{ in}^{-1}$  $c_{\text{Fe}^{3+}} / \text{mmol} \cdot \text{L}^{-1}$ :  $c_{\text{Fe}^{3+}} / \text{mmol} \cdot \text{L}^{-1}$ : 21 15.5 0 1.39 1.71 10 2.25 3.89 1 1.41 1.78 6.59 30 2.08 50 9.02

表 1 不同 Fe3+ 浓度下的表观速率常数值 k1

注:  $c_{\text{HNO}_3} = 1.0 \,\text{mol/L}$ ,  $c_{\text{(CH}_3)_2\text{NNH}_2} = 40 \,\text{mmol/L}$ ,  $I = 1.5 \,\text{mol/kg}$ 

#### 2.2 HNO<sub>2</sub> 对偏二甲基肼与 Np(VI) 反应的影响

2. 2. 1 HNO  $_2$  与 Np (VI) 的反应 以不同浓度 HNO  $_2$  对 Np (VI) 进行还原, 用  $_4$   $_{eq}$ 表示反应达 到平衡时Np(V)的最大吸光度, $A_t$ 表示 t 时刻Np(V)的吸光度。以  $lg(A_{eq}-A_t)$ 对时间 t 作图 并示于图 2。图 2 为一组不同斜率的直线, 表明 HNO 2 还原 Np (VI) 的反应为一级反应。即:

$$-\frac{\mathrm{d}c_{\mathrm{Np}(\mathrm{VI})}}{\mathrm{d}t} = k \, {}_{2}c_{\mathrm{Np}(\mathrm{VI})} \tag{4}$$

表观速率常数  $k_2$  可以表示为  $HNO_2$  浓度的函数:

$$k_2 = k_2 c_{\text{HNO}}^b, \tag{5}$$

$$\lg k_2 = \lg k_2 + b \lg c_{\text{HNO}}, \tag{6}$$

实验求得不同  $HNO_2$  浓度下的表观速率常数  $k_2$ , 以  $lgk_2$  对  $lgc_{HNO_2}$ 作图(见图 3) 为直线, 直线的斜率(b)约为 1.0。将  $k \ge b$  值以及  $c_{HNO}$ ,代入式(6) 求出表观速率常数  $k \ge 1$ , 取平均值:  $k \ge 1$ = 165(L/mol) · m in 1。由此得出, 在 t= 22.5 , I= 1.0 mol/kg 条件下, HNO 2 与Np(VI)反 应的动力学方程为:

$$-\frac{\mathrm{d}c_{\mathrm{Np}}(\mathrm{VI})}{\mathrm{d}t} = k_{2}c_{\mathrm{Np}}(\mathrm{VI})c_{\mathrm{HNO}_{2}} \tag{7}$$

实验结果  $k = 165 (L / mol) \cdot m in^{-1}$ 与文献值[3]基本一致。

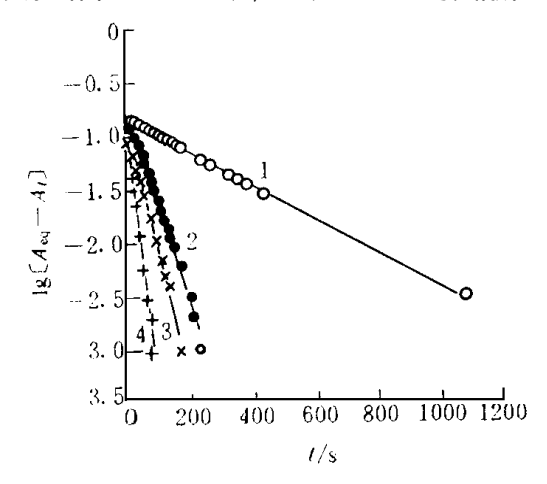


图 2  $\lg (A_{eq} - A_t)$ 与时间 t 关系图  $\lambda = 981 \text{ nm}, t = 22.5$  ,  $c_{HNO_3} = 1.0 \text{ mol/L}$ ,  $I = 1.0 \text{ mol/kg}; c_{HNO_2} / \text{mmol · L}^{-1}$ : 1 - 2.0, 2 - 8.0, 3 - 10.0, 4 - 20.0

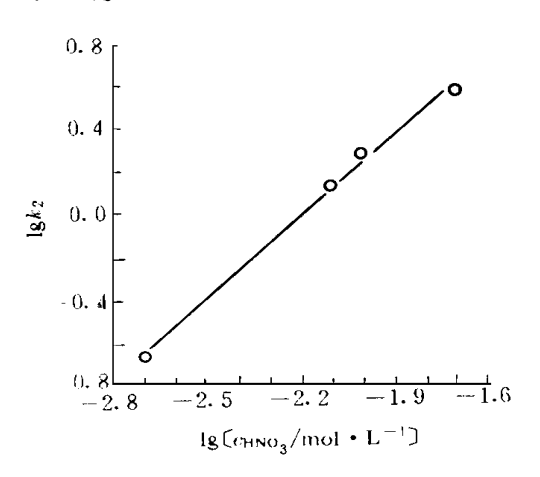


图 3  $\lg k_2$ 与  $\lg c_{HNO_2}$ 关系图 t = 22.5 ,  $c_{HNO_3} = 1.0 \text{ mol/L}$ , t = 1.0 mol/kg

2. 2. 2 HNO 2 对(CH 3)  $\pm$  NNH 2 与 Np (VI) 反应的影响 HNO 2 的特征吸收峰位于 371 nm , 当 (CH 3)  $\pm$  NNH 2 加入 HNO 2 溶液后,371 nm 处的吸光度随时间延长而减小,表明 HNO 2 与 (CH 3)  $\pm$  NNH 2 发生了反应,消耗了还原剂 (CH 3)  $\pm$  NNH 2 发生了反应,消耗了还原剂 (CH 3)  $\pm$  NNH 2 为 Np (VI) 的还原速率。 1. 0 mmo l/L Np (VI) 在 0. 8 mmo l/L HNO 2-4 mmo l/L (CH 3)  $\pm$  NNH 2 1 mo l/L HNO 3 体系中,Np (VI) 还原速率结果表明,Np (VI) 的还原有两个过程:一个是非常快的快速过程, $\pm$  3 (换) = 6. 4 m in 1 ,接着是一个慢过程, $\pm$  3 (换) = 0. 096 m in 1 ,前者比后者快66倍多。从实验中得知,还原90% Np (VI)需9 s,还原95% Np (VI)亦只需1.5 m in,而在相同条件下HNO 2 或(CH 3)  $\pm$  NNH 2 单独还原Np (VI) 时,速率慢得多,其结果比较见表 2。由表 2 可知,当 (CH 3)  $\pm$  NNH 2 还原Np (VI) 时,HNO 2 的存在不仅没有减弱 (CH 3)  $\pm$  NNH 2 还原Np (VI) 的速率,而且大大加快Np (VI) 的还原速率。与此同时,还测定了该体系中Np (IV) 的含量(如表 3 所示)。从表 3 看出,在实验时间里 (0—120 m in ),观测不到Np (IV) 的生成。

表 2 不同还原剂还原 90% 和 95% Np (VI) 所需时间比较

	t∕m in	
	90%	95%
0 8 mmol/L HNO 2 <sup>1)</sup>	29. 2	37.9
$4  \text{mmol/L}  (\text{CH}_{3})  2\text{NNH}_{2}^{1)}$	12.5	16.3
0.8 mmol/L HNO 2-4 mmol/L (CH 3) 2NNH 2	8 s	1.5

注: t = 22 ,  $c_{HNO_3} = 1.0 \text{ mol/L}$ ,  $c_{Np(VI)} = 1.0 \text{ mmol/L}$ 

<i>t</i> /m in	w <sub>Np (IV)</sub> /%	
0	0.24	
30	0.24	
120	0.26	

注: t = 20 ,  $c_{(CH_3),NNH_2} = 40 \text{ mmol/L}$ ,  $c_{HNO_3} = 1.05 \text{ mol/L}$ ,  $c_{HNO_2} = 4.0 \text{ mmol/L}$ 

研究  $HNO_2$ -( $CH_3$ )  $2NNH_2$  还原 Np (VI) 动力学的快过程时, 以 lg ( $A_{eq}$ -  $A_t$ ) 对时间 t 作图 为直线, 表明  $HNO_2$ -( $CH_3$ )  $_2NNH_2$  还原Np(VI) 的反应为一级反应:

$$-\frac{\mathrm{d}c_{\mathrm{Np}(\mathrm{VI})}}{\mathrm{d}t} = k \, {}_{3}c_{\mathrm{Np}(\mathrm{VI})} \tag{8}$$

表观速率常数 k 3 可表示为 HNO 2 和 (CH 3) 2NN H 2 浓度的函数:

$$k_{3} = k_{3} c_{\text{HNO}_{2}}^{c} c_{(\text{CH}_{3})_{2} \text{NNH}_{2}}^{d}$$
 (9)

$$\lg k_3 = \lg k_3 + c \lg c_{\text{HNO}_2} + d \lg c_{\text{(CH}_3)_2\text{NNH}_2}$$
 (10)

分别固定HNO2或(CH3)2NNH2浓度,改变(CH3)2NNH2或HNO2浓度,求出反应的表观速率 常数 k 3 并列入表 4。

 $c_{HNO_2}^{1)}/mmol \cdot L^{-1}$  $c^{(CH_3)}_{(CH_3)}$ /mmol·L·1  $k_{3}/m \text{ in}^{-1}$  $k_{3}/m \text{ in}^{-1}$ 0.4 3.35 0.8 1.85 0.6 4.18 2.0 2.63 1.0 7.10 4.0 4.89 4.0 33.3 8.0 5.38

不同 HNO 2 浓度和偏二甲基肼浓度下的表观速率常数值

注: t = 21.5 ,  $c_{\text{HNO}_3} = 1.0 \,\text{mol/L}$ , 1)  $c_{\text{(CH}_3)_2\text{NNH}_2} = 4.0 \,\text{mmol/L}$  2)  $c_{\text{HNO}_2} = 0.8 \,\text{mmol/L}$ 

以 lgk 3 对  $lg_{CHNO_2}$ 作图为直线, 直线斜率为 1.03, 则 c=1.03 1.0。

以  $\lg k$  3 对  $\lg c_{(CH_3)_2NNH_2}$ 作图得直线的斜率为 0.491,则 d=0.491 0.5。

将 c, d, k 3 及 c<sub>HNO s</sub>, c<sub>(CH2) sNNH2</sub>代入式(10) 求出反应的表观速率常数 k 3, 取平均值得:

$$k = 1.22 \times 10^{5} (\text{L/mol})^{1.5} \cdot \text{m in}^{-1}$$

由此, 得到当 t=21.5 ,  $c_{\text{HNO}_3}=1.0\,\text{mol/L}$ ,  $k_3=1.22\times10^5\,\text{(L/mol)}^{1.5}\cdot\text{m in}^{-1}$ 时,  $\text{HNO}_2$  和 (CH3) 2NNH2 混合还原Np(VI)的动力学方程为:

$$- \frac{\mathrm{d}c_{\mathrm{Np}(\mathrm{VI})}}{\mathrm{d}t} = k \, \, _{3}c_{\mathrm{Np}(\mathrm{VI})} \, c_{\mathrm{HNO}_{2}} c_{(\mathrm{CH}_{3})_{2}\mathrm{NNH}_{2}}^{0.5}$$
 (11)

上述实验结果表明: HNO2和(CH3)2NNH2混合还原Np(VI)的反应速率不仅比单独的HNO2 或单独的(CH<sub>3</sub>)2NNH2<sup>[1]</sup>与Np(VI)反应速率要快得多,且反应级数亦有不同。HNO2和  $(CH_3)_2NNH_2$  混合还原Np(VI) 的反应较复杂, 可能存在的反应有:  $HNO_2$  与Np(VI) 的反应, (CH<sub>3</sub>)<sub>2</sub>NNH<sub>2</sub>与Np(VI)的反应、HNO<sub>2</sub>和(CH<sub>3</sub>)<sub>2</sub>NNH<sub>2</sub>的反应产物与Np(VI)的反应。HNO<sub>2</sub> 和 $(CH_3)_3NNH_2$ 的反应产物参与还原Np(VI)的反应是引起反应速率显著加快的重要原因。其反应机理有待于进一步探讨。

#### 3 结 论

- - (2) HNO 2 能将 Np (VI) 还原到 Np (V), 反应速率方程为:

$$\frac{\mathrm{d}c_{\mathrm{Np}}(\mathrm{VI})}{\mathrm{d}t} = k_{2}c_{\mathrm{Np}}(\mathrm{VI})c_{\mathrm{HNO}_{2}}$$

当 t = 22.5 时,  $k_2 = 165 (L/mol) \cdot m in^{-1}$ 

(3) 往Np(VI)的HNO3溶液中同时加入HNO2和(CH3)2NNH2,能快速地将Np(VI)还原至Np(V)且检测不到Np(IV)的生成,其反应速率比单独的HNO2或(CH3)2NNH2与Np(VI)反应速率要快得多,其速率方程为:

$$- \frac{dc_{Np(VI)}}{dt} = k _{3}c_{Np(VI)}c_{HNO_{2}}c_{(CH_{3})_{2}NNH_{2}}^{0.5}$$

当 t = 21.5 ,  $c_{\text{HNO}_3} = 1.0 \,\text{mol/L}$  时,  $k_3 = 1.22 \times 10^5 \,\text{(L/mol)}^{1.5} \cdot \text{m in}^{-1}$  。

## 参考文献

- 1 尹东光、张先业、胡景炘、偏二甲基肼还原六价镎的动力学研究、核化学与放射化学、1997、19(3): 23
- 2 Bond WD. The Oxidation-reduction Kinetic Involved in the Np (V) + Fe (II) ⇔Np (IV) + Fe (III) System in N itric A cid Solutions, J Inorg Nucl Chem, 1977, 39: 1395—1402
- 3 Mary W. A Kinetic Study of the Oxidation of Nitrous Acid by Np (VI) and Am (VI) in Perchlorate Medie J Inorg Nucl Chem, 1976, 38: 2059—2061

# EFFECTS OF Fe<sup>3+</sup> AND HNO<sub>2</sub>ON THE REDUCTION OF Np (VI) W ITH 1, 1-D M ETHYL HYD RAZINE

Yin Dongguang Zhang Xianye Hu Jingxin

(China Institute of A tom ic Energy, P. O. BOX 275(26), Beijing 102413)

#### **ABSTRACT**

The effects of  $Fe^{3+}$  and  $HNO_2$  on the reduction of Np (VI) with 1, 1-dimethylhydrazine are studied. The results show that  $Fe^{3+}$  can be reduced by 1, 1-dimethylhydrazine and  $Fe^{3+}$ 

can acts as a catalyst to the reaction of Np (VI) with 1, 1-dimethylhydrazine U nder the experimental condition, Np (IV) can be produced when increasing the ferric ion concentration to  $0.1 \, \text{mmol} \, \text{L}$ . N itrous acid can react with Np (VI). Its reaction rate equation can be expressed as follows:

$$- \frac{\operatorname{d}c_{\mathrm{Np}(\mathrm{VI})}}{\operatorname{d}t} = k \, 2c_{\mathrm{Np}(\mathrm{VI})} c_{\mathrm{HNO}_2}$$

where  $k_2 = 165$  (L/mol) · m in <sup>1</sup> at t = 22.5 . As nitrous acid and 1, 1-dimethylhydrazine are present in the system simultaneously, the reduction of Np (VI) to Np (V) proceeds at a very high rate. The rate equation is as follows:

$$\frac{\mathrm{d}c_{\mathrm{Np}(\mathrm{VI})}}{\mathrm{d}t} = k_{3}c_{\mathrm{Np}(\mathrm{VI})}c_{\mathrm{HNO}_{2}}c_{(\mathrm{CH}_{3})_{2}\mathrm{NNH}_{2}}^{0.5}$$

Where  $k = 1.22 \times 10^5 \, (\text{L/mol})^{1.5} \cdot \text{m in}^{-1}$  at t = 21.5,  $c_{\text{HNO}_3} = 1.0 \, \text{mol/L}$ .

**Key words** Ferric ion Nitrous acid 1, 1-Dimethylhydrazine Neptunium Reaction rate

#### 核燃料后处理研讨会在黄山召开

核化工分会核燃料后处理专业委员于 1997 年 9 月 7 日—12 日在黄山召开了"核燃料后处理研讨会"。到会代表 28 人,分别来自核工业总公司职能部门、大学、研究院、设计院和工厂等 8 个单位。会议邀请 18 位专家就自己的最新研究成果和国内外核燃料后处理科研、生产的发展趋势作了报告,进行了深入的讨论,并分别举行了热门课题的座谈。

通过研讨对核燃料后处理过程主要环节的现状和发展方向有了深入的了解,对我国后处理科研工作和组织工作存在的问题有了明确的认识,对今后的研究方向提出了建设性的意见。 研讨会目的明确,准备充分、针对性强、讨论深入、学术思想活跃,达到了预期的目的。

中国核学会核化工分会 张先业供稿 核燃料后处理委员会主任

# 核废物处理处置研讨会在国营 821 厂召开

1997 年 9 月 23 日—27 日, 中国核学会核化工分会核废物处理处置专业委员会主办的核废物处理处置研讨会在国营 821 厂举行。来自 8 个单位的 24 位代表在会上宣读了 18 篇报告。其内容基本反映了近年来国内外核废物治理方面最新进展。代表们重点对我国的固体废物的处理处置, 如固体废物的回取, 分拣, 减容技术, 包装, 运输, 及相关标准等展开了热烈的讨论, 并提出了一些有益的建议。

会议期间, 代表们怀着浓厚的兴趣参观了821 厂核废物处理设施, 如水力压裂、沥青固化、玻璃固化冷台架、高放废液贮罐等。